•图文讲座 •

脊髓急性非肿瘤非外伤性病变 MRI 鉴别诊断

钟洪波,全冠民,袁涛

【摘要】 脊髓非肿瘤非外伤性急性病变包括脱髓鞘疾病、炎症与感染性疾病、血管性疾病及代谢性疾病,均可在 MRI 检查时显示异常信息,具有一定特点,结合临床与实验室检查有助于准确诊断与鉴别诊断。

【关键词】 磁共振成像; 脊髓疾病; 急症

【中图分类号】R445.2; R744 【文献标识码】A 【文章编号】1000-0313(2013)11-1109-04

非肿瘤非外伤性脊髓急性病变包括炎症、自身免疫性疾病、感染性病变、血管疾病、代谢性疾病等。 MRI 对脊髓这类病变鉴别具有重要作用。脊髓急性病变 MRI 检查主要包括矢状面 T_1 WI 与 T_2 WI、矢状面和横轴面增强 T_1 WI,特殊检查技术如扩散成像(DWI 与 DTI)[1]、MRA、磁化传递成像也对其有一定作用。

脱髓鞘疾病

多发性硬化(multiple sclerosis, MS):为T细胞介导的中枢 神经自身免疫性脱髓鞘疾病,尸检发现脊髓累及率几乎达 100%,但仅5%~24%有脊髓症状。脊髓 MS 主要累及白质, 也可侵犯灰质结构,临床表现取决于受累脊髓节段。MRI特 点[2-6](图 1):①MS 最常见于颈段脊髓(60%),可孤立性侵犯颈 段脊髓(10%~20%),但多合并颅内病变。易侵犯脊髓背侧与 外侧部分,偏心性分布,灰白质均受累,常为脊髓一侧、病灶大 小不超过脊髓断面一半,但较大病灶也可越过中线。急性期局 部脊髓增粗(复发-缓解型,6~8周消退)或形态正常,慢性期脊 髓萎缩。②横轴面图像上病灶呈楔形,尖端指向脊髓中心,而 脊髓中央病灶常为椭圆形,也可为结节状、环形或弓状,呈 Tu 等或低信号、T₂ 高信号。矢状面图像上病灶常为椭圆形、长轴 与脊髓纵轴一致,纵向范围可达1个椎体高度,少数达2个椎体 节段。急性期后病灶呈偏心性分布的卵圆形,沿脊髓小静脉的 纵轴周围分布。原发进展型 MS 则为脊髓内弥漫性病灶。有时 病变内见 T2 低信号,可能与铁沉积有关。③增强扫描常为不 全性、斑片状或边缘性强化,也可为结节状与环形强化,与原发 性横断性脊髓炎类似,皮质激素不影响活动期病变的强化。强 化持续2~8周,急性期过后可无强化,若有、则为中心性分布。 ④DWI 显示病灶扩散受限, MRS 可见 NAA 峰降低。磁化传递 成像显示磁化传递率(MTR)下降,病理学上与髓鞘丧失及轴索 减少有关。DTI 显示 MS 病灶 FA 值明显下降。鉴别诊断包括 脊髓肿瘤(脊髓增粗、灶周水肿,可见囊变与出血)、急性播散性 脑脊髓炎(前驱感染,病情进展快,病变范围广)、横断性脊髓炎 (累及脊髓中央、累及 3~4 个脊髓节段、无颅内病变)、脊髓梗 死(脊髓前部为主,急性发病)、结节病(脊髓脊膜、胸部同时受

视神经脊髓炎(neuromyelitis optica, NMO):也称 Devic病。特征为反复发作的重度视神经炎与横断性脊髓病变。

通讯作者:全冠民, E-mail: quanguanmin@163. com

NMO 临床表现较 MS 严重。视神经炎与脊髓病变之间的时间 间隔为数天至数周,偶可长达数年。可为单向病程及治疗后复发。NMO 发病高峰年龄为儿童(5 岁左右)与 $30\sim50$ 岁成人。 NMO 预后较 MS 差。MRI 特点(图 2) [$3^{4,7-8}$]:①病变纵径较大,呈融合性,常累及 4 或 5 个以上脊髓节段,约 1/4 病例脊髓肿胀,晚期可有萎缩。②急性期后病变内可见坏死空洞。③增强扫描病变有强化。④同时显示视神经增粗及 T_2 高信号改变,以冠状面脂肪抑制 T_2 WI 及 STIR 序列显示最佳。NMO 主要需与 MS 鉴别,NMO 的病灶较大,累及范围更大,强化更明显,且无脑实质病灶。

炎性及感染性疾病

急性横断性脊髓炎(acute transverse myelitis, ATM),病因 不明,但最有可能为病毒感染,其他可能原因包括疫苗接种、细 菌感染、系统性红斑狼疮等结缔组织病、多发性硬化以及副肿 瘤综合征。诊断标准包括[2]:①感觉、运动及自主神经功能障 碍;②症状及体征为双侧性;③有明确的感觉平面;④影像学检 查排除了脊髓外病变所致的压迫;⑤具有炎症证据如 CSF 中细 胞增多、IgG升高、MRI显示异常强化,首次检查阴性时可在 2~7 d 内复查;⑥发病后 4 h~12 d 症状进展最明显。MRI 特 点(图 3)[2-6]:①好发于胸段脊髓,其次为颈段,累及脊髓中央, 纵行范围超过2个(3~4个)脊髓节段。②病变呈边缘清楚的 T_1 等或低信号、 T_2 高信号,轴位上占据脊髓断面 50%至 2/3 以 上,相应脊髓节段形态正常或轻度肿胀(约各占一半)。③增强 扫描从无强化到结节状、斑片状或边缘强化,可合并脊膜强化。 ④皮质激素治疗效果良好, MRI 显示异常信号吸收、肿胀消退 及强化减弱。但值得注意的是,本病约 40~50% MRI 无阳性 表现。鉴别诊断包括多发性硬化(MS)(见前述)、ADEM(见前 述)、脊髓梗死(累及脊髓腹侧、运动障碍较感觉异常明显,起病 急)、髓内肿瘤(见前述)、脊髓空洞积水症(所有序列上为脑脊 液信号,无强化,脊髓外形正常)。

急性播散性脑脊髓炎(acute disseminated encephalomyelitis, ADEM),各年龄段均可发病,但好发于青少年,是一种免疫介导的炎性疾病,呈单向病程。进展快,病情重,70%左右儿童病例有病前3周内前驱病毒感染或免疫接种史。以累及白质为主,表现为小静脉周围 T细胞、偶有浆细胞浸润、脱髓鞘、灶性出血、坏死,脑脊膜也可见炎性改变。ADEM 侵犯脊髓者约11%~28%。MRI特点(图 4)[2-3,5-6]:①脊髓内多灶性、火焰状T2高信号与 T1 低信号病变,累及白质,背侧较多,范围较ATM 及 MS 广泛;②急性期病变段脊髓肿胀,晚期脊髓萎缩;③增强扫描脑内与脊髓病变均可呈不同程度强化,可为斑片

作者单位:063001 河北,唐山市人民医院影像科(钟洪波);050000 石家庄,河北医科大学第二医院(全冠民、袁涛)

作者简介: 钟洪波(1972一), 男, 河北乐亭人, 硕士, 副主任医师, 主要从事 MRI 及其功能成像诊断工作。

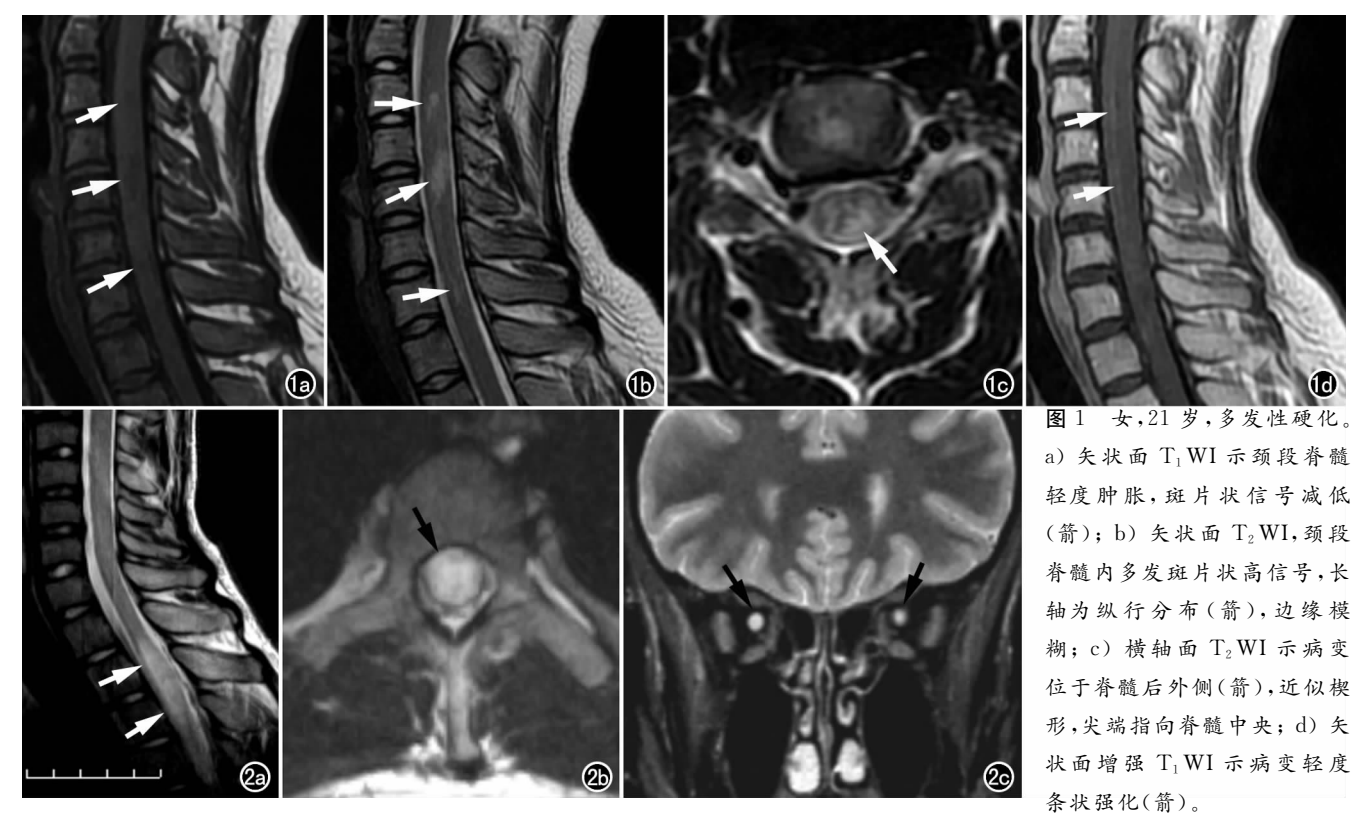


图 2 女,41 岁,视神经脊髓炎。a) 矢状面 T_2 WI 示 T_1 $-T_3$ 椎体水平脊髓肿胀及信号增高(箭); b) 横轴面 T_2 WI 示局部脊髓 断面均受累(箭); c) 冠状面 STIR 示双侧视神经增粗及信号增高(箭),右侧明显。

状、点状、环状或绒毛状强化,可同时见神经根强化;④并存脑实质病变。鉴别诊断包括 MS、血管炎(有 SLE 等疾病)、横断性脊髓炎(横断面累及脊髓大半,可为多节段)、脊髓梗死、动静脉瘘(AVF)(可见异常流空信号、无周围神经侵犯)。

其他多种病毒如肠病毒所致的手-足-口病也可引起急性脊髓病变(图 5)。

血管性疾病

系统性红斑狼疮相关性脊髓病变:脊髓炎是系统性红斑狼疮不常见的并发症。临床上女性发病明显多于男性,男女发病性别比1:8,表现为背痛、四肢轻瘫或麻痹、感觉丧失,实验室检查抗磷脂抗体阳性。本病 MRI 表现(图 6)类似于横断性脊髓炎^[2],可为脊髓中央分布、占据脊髓断面 2/3 以上,累及脊髓超过2个椎体节段,一般可达3~4个),增强扫描可能有强化。本

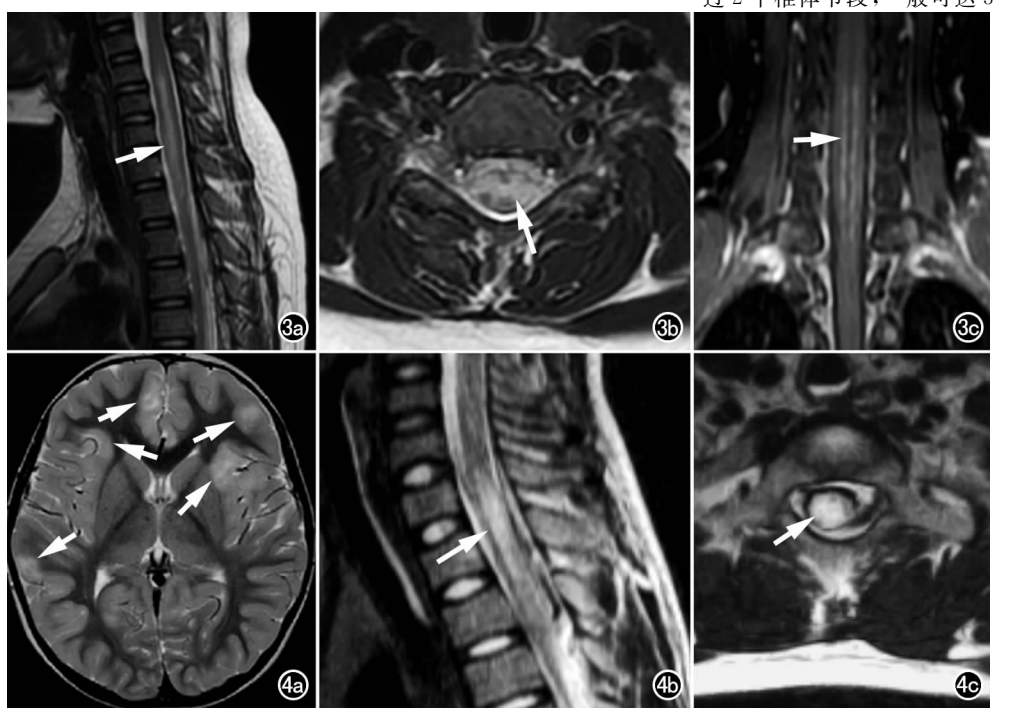


图 3 女,11 岁,急性横断性 脊髓炎。a) 矢状面 T2WI 示 T。椎体水平及以下颈段与上 胸段脊髓轻度肿胀,呈高信号 (箭); b) 横轴面 T₂WI 示病 变累及脊髓段面大部,形态不 规则(箭); c) 冠状面增强 T₁WI 示脊髓内纵行条状强化 (箭)。 图 4 男,12 岁,急 性播散性脑脊髓炎。a) 横轴 面 T₂WI 示两侧额颞叶多发 高信号灶(箭),累及皮质为 主;b) 矢状面 T_2 WI 示 $T_7 - T_1$ 水平脊髓内大片高信号(箭); c) 横轴面 T2WI 示病变累及 脊髓断面大部(箭)。



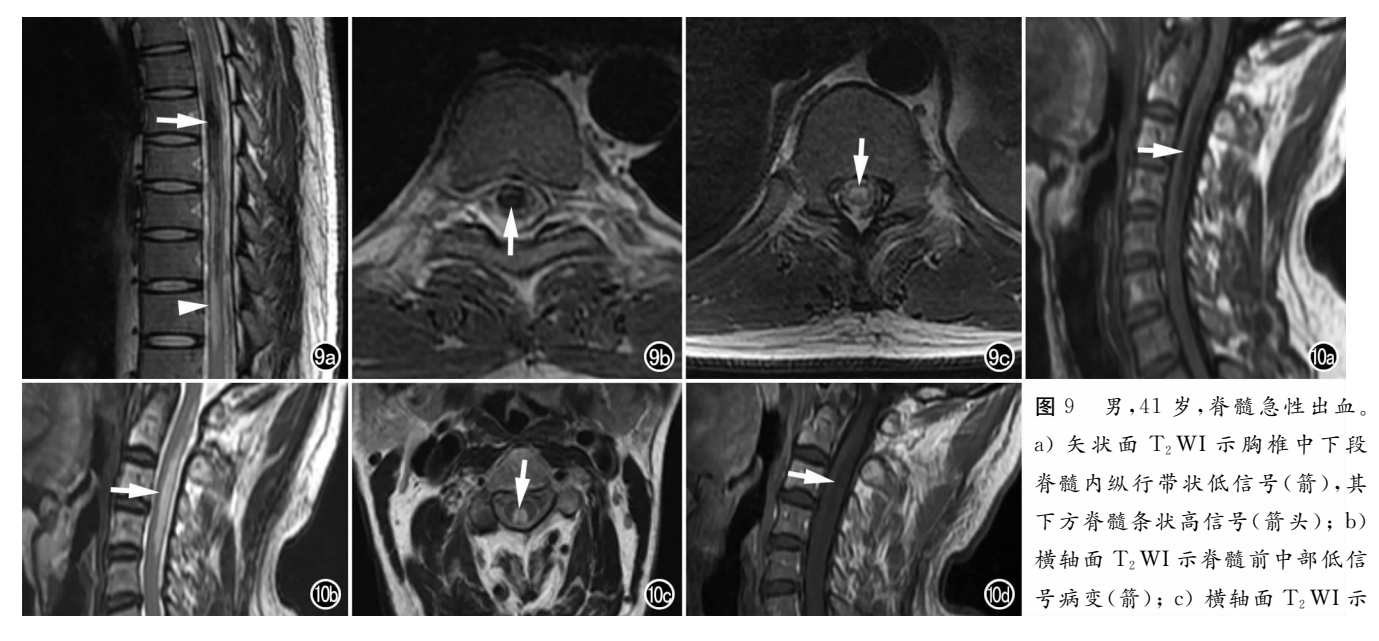
片状高信号(箭),边缘欠清,颈胸段脊髓变细,胸段椎管蛛网膜下腔信号不均匀, $T_6 \sim T_7$ 椎体水平后部蛛网膜下腔片状低信号(箭头); b) 横轴面 T_2 WI 示脊髓边缘局部高信号(箭); c) 横轴面 T_2 WI 示脊髓边缘病变小结节状强化(箭),脊膜弥漫性增厚与强化(箭头)。

病可合并脊髓炎,并可同时合并 颅内病变。鉴别诊断:①Lyme 病,病原体为包柔螺旋体。脊髓 Lyme 病临床表现类似于横断性 脊髓炎,还可类似脊膜炎与多岩 神经根炎,其 MRI 征象似。 等经根炎,其 MRI 征象似。 多生根炎,其 他多种细菌、 事点原体侵犯均较少见。 ③Behcet 病,属血管炎,罕见累 及脊髓,MRI表现为脊髓强力的。 数在 T₂ 高信号病变,增强可做 出诊断^[2]。④脊髓脓肿,罕见,增强扫描可见环形强化。

动脉性脊髓梗死:常为脊髓前动脉分支闭塞所致,累及皮质脊髓束与脊髓丘脑束,脊髓后柱内侧受侵导致本体感觉障碍。原因包括动脉瘤、主动脉夹层、手术、脊髓动脉夹层、低血压、栓塞、血管炎、凝血功能障碍、脊膜炎等。MRI特点(图7)[3-4,7]:①脊髓前部弥漫性长节段信号异



图 7 男,27岁,左椎动脉夹层致脊髓梗死。a) 矢状面 T₂WI 示 颈段脊髓前部纵行条状高信号(箭); b) 横轴面 T₂WI 示双侧脊髓前角对称性高信号(箭)。 图 8 男,53岁,椎管内血管畸形合并脊髓静脉性梗死。a) 矢状面 T₁WI 颈段脊髓大范围信号减低(箭),颈胸段脊髓轮廓不规则; b) 矢状面 T₂WI 示 C₄~C₇椎骨水平脊髓呈均匀高信号(箭),颈胸段脊髓周围迂曲条状与点状低信号影; c) 横轴面 T₂WI 示病变累及脊髓横断面全部(箭); d) 矢状面增强 T₁WI 示脊髓内病变无明显强化(箭),脊髓周围多发迂曲线状强化(箭头); e) 横轴面增强 T₁WI 示脊髓右侧点状强化(箭)。



脊髓内高信号病变(箭)。 图 10 男,55 岁,慢性胃炎,亚急性脊髓联合变性。a) 矢状面 T_1 WI 示 $C_2 \sim C_4$ 脊髓后部纵行低信号(箭); b) 矢状面 T_2 WI 示病变为高信号(箭); c) 脊髓横轴面 T_2 WI 示病变呈倒"V"形高信号(箭); d) 矢状面增强 T_1 WI 示病变无明显强化(箭)。

常,以胸下段与胸腰段脊髓常见,灰质或灰白质均受累,原因是该处供血血管迂曲明显。②横轴面 T₂WI上可见病变累及双侧前角、呈猫头鹰眼征或蛇眼征,也可累及整个灰质或脊髓断面或脊髓中央为主。③病变中央可见出血性改变,梯度回波显示为低信号。④DWI有助于显示 T₂WI上信号改变不明显的病变,呈 DWI高信号与 ADC 值降低^[6]。⑤增强扫描可从无强化到斑片状强化。⑥同时可见主动脉瘤或夹层征象、椎体梗死^[3-4]。鉴别诊断主要包括脊髓肿瘤、脱髓鞘疾病、横断性脊髓炎^[4]。

静脉性脊髓梗死:脊膜动静脉瘘(SAVDF)合并脊髓静脉血栓与梗死称之为 Foix-Alajouanine 综合征,也称坏死性脊髓病。临床表现包括突发性瘫痪、感觉丧失及括约肌功能障碍。MRI特点(图 8)^[2-3]:①脊髓轮廓不规则,T₂ 序列可见脊髓表面多发流空信号。②横轴面上脊髓呈弥漫性 T₂ 高信号,类似于 ATM或动脉性脊髓梗死,但也可为 T₂WI 信号无异常。③增强扫描可见迂曲走行的异常血管及梗死脊髓延迟强化。④增强 MRA有时可显示痿口的位置。

脊髓出血:可为自发性,但更常见的是有基础疾病如动静脉畸形、海绵状血管畸形、髓内肿瘤等。MRI 上根据期龄不同而有不同表现,一般为 T_2 WI 上中央高信号与边缘低信号,亚急性期可见 T_1 WI 高信号,梯度回波序列显示低信号,局部脊髓增粗(图 9)。

其他疾病

维生素 B12 缺乏:即亚急性脊髓联合变性。病因包括恶性贫血、胃切除术后、Crohn病、绦虫病、严格素食者、及母亲为素食者的婴儿等,引起维生素 B12 缺乏导致脱髓鞘,选择性累及脊髓后柱与外侧柱,治疗后脊髓病变的异常 MR 信号可逆转。实验室检查为大细胞性贫血、血浆维生素 B12 下降。 MRI 特征(图 10)[3.5]:①受累脊髓轻度增粗,后柱与外侧柱异常信号;②

矢状面 T₂WI上病变呈纵行高信号,横轴面上形似倒置的"V"形或倒置的兔耳状,T₁WI为低信号;③增强扫描无强化或轻度强化;④补充维生素 B12 后上述病变可消退。鉴别诊断包括脊髓梗死、脊髓挫裂伤(有外伤史,伴随脊柱骨折,病变内可有出血)、ADEM 或 MS、感染性脊髓炎(实验室检查有助于诊断)、急性横断性脊髓炎。

综上所述,多种急性脊髓疾病可出现脊髓异常信号,准确 诊断需结合临床表现、实验室检查及影像学表现。

参考文献:

- [1] 宋清伟,郎志谨,郑文衡,等. 磁共振扩散张量成像在颈髓病变中的应用[J]. 放射学实践,2010,25(8);834-838.
- [2] Atlas SW. Magnetic resonance imaging of the brain and spine[M]. Lippincott Williams & Wilkins, 2009:1678-1689.
- [3] Sheerin F, Collison K, Quaghebeur G. Magnetic resonance imaging of acute intramedullary myelopathy: radiologic differential diagnosis for the on-call radiologist[J]. Clinical Radiology, 2009, 64(1): 84-94.
- [4] Do-Dai DD, Brooks MK, Goldkamp A, et al. Magnetic resonance imaging of intramedullary spinal cord lesions, a pictorial review [J]. Curr Probl Diagn Radiol, 2010, 39(1), 160-185.
- [5] Ross JS, Brant-Zawadzki M, Moore KR, et al. Dignostic imaging: spine [M]. Salt Lake City: Amirsys, 2004: ∭-2-16-32.
- [6] Filippi M, Staefano ND, Dousset V, et al. MR imaging in white matter diseases of the brain and spinal cord[M]. Heidberg: Springer, 2005; 269-277.
- [7] 王飞,于春水,李坤成. 视神经脊髓炎的 MRI 研究进展[J]. 临床放射学杂志,2010,29(7):988-990.
- [8] Thurnher MM, Bammer R. Diffusion-weighted MR imaging (DWI) in spinal cord ischemia[J]. Neuroradiology, 2006, 48(11): 795-801.

(收稿日期:2013-02-17 修回日期:2013-07-09)